

(10) 岩盤内における間隙水および熱の移動を考慮した変形解析手法について

大成建設(株) ○ 黒 優 道村 勝美

1. はじめに

これまで、岩盤内に掘削された大規模地下空洞の安定性は、主に力学的な面から検討が加えられてきた。しかしながら、地下水孔子や廃棄物処分場など、将来において計画されている岩盤内空洞については、単に力学的な安定性のみならず、地下水や熱の運動に起因する影響についても、十分な精度の検討を実施することが求められている。このため、設計においても、これらの項目を考慮して実験や数値シミュレーションを実施し、掘削空洞周囲に生ずる様々な物理現象を把握していく必要がある。本研究は、この立場から、岩盤の力学的挙動に及ぼす熱、及び水の移動の影響について考察を加えるとともに、予測手段としての数値解析手法を開発することを目的としている。

2. 相互作用について

岩盤の変形、水の移動及び熱の伝導は、それぞれが独立に生ずるのでではなく、互いに影響を及ぼしあっていると考えられる。これらの相互作用を正しく評価することは容易ではないが、相互作用に比較的大きな影響を及ぼすと考えられる因子にのみ着目すれば、図-1のようになりますことができる。以下、各因子との相互作用について検討する。

2.1 岩盤の変形と間隙水の移動

岩盤は多くの場合、内部の間隙(粒子間、クラック等)に水分を含有しており、間隙どうしが連続している場合、間隙水の圧力差により水の移動が生ずる。このとき岩盤は、大きくなり小さくなり、この質量の変化を受けて変形すると考えられる。この立場で変化する、水の運動がダルシー則に従がうものと仮定した上で、次のようく記述することができる。

$$\frac{\partial}{\partial x_i} (K_{ij} \frac{\partial \phi}{\partial x_j}) = \frac{\partial}{\partial t} \epsilon_a + \frac{1}{m} \frac{\partial}{\partial t} \phi \quad (1)$$

K : 透水係数 ϕ : 間隙水圧 m : 質留係数 ϵ_a : (体積ひずみ)

(1)式の左辺は質量の変化を表わし、また、右辺第一項は、この質料の変化の一部を補なって岩盤の変形、第二項は、水自身の変形や飽和度の変化など岩盤の変形に影響を及ぼさずに補なれて質量をそれぞれ表わしている。このとき岩盤に発生する応力は、 ϵ_a を内部のひずみ変化とみなして、(2)式のように表わすことができる。 a_{ij} は、間隙比から成る係数である。岩盤の応力が変化した場合、これとつり合って間隙水圧も変化する。いま既に水の運動を許さず、岩盤に圧縮力を作用せんとするとき、間隙の閉塞によって間隙水圧は増加する。従って、岩盤内の応力と間隙水圧の関係には、(3)式のようない関係が成り立つ。 α_1 は、間隙の形状や岩盤の剛性等に依存する係数である。

$$O_{ij} = C_{ijk} \left(\epsilon_{kp} - S_{kp} \alpha_1 \frac{\epsilon_a}{3} \right) \quad (2) \qquad \phi = \alpha_2 \frac{O_{ii}}{3} \quad (3)$$

O : 岩盤の応力 C : 岩盤の変形係数 α_1, α_2 : 係数

$$\frac{\partial}{\partial x_j} O_{ij} + X_i = 0 \quad (4)$$

岩盤の変形と水の移動との相互作用は、(1)~(3)式及び、(4)式で表わされる岩盤の平衡方程式を解くことにより評価することができる。

2.2 热の移動と岩盤の変形

热の移動と岩盤の変形との相互作用は、次のようく表わされる。

$$\frac{\partial}{\partial x_i} (\lambda_{ij} \frac{\partial T}{\partial x_j}) = C_p \frac{\partial T}{\partial t} - TB_{ij} \frac{\partial}{\partial t} \epsilon_{ij} \quad (5) \quad \sigma_{ij} = C_{ijk} \epsilon_{kj} - B_{ij} T \quad (6)$$

T : 岩盤の温度 α : 热伝導率 C_p : 热容量 B : 热膨胀に関する係数

(5)式はエネルギー保存則より得られる热伝導方程式であり、(6)式は热膨胀を考慮して弹性体の構成方程式である。

2.3 热の移動と水の移動

水の移動が生じている場では、水の流れによって熱量が運ばれる。従って、(5)式は、次のようく改められる。

$$\frac{\partial}{\partial x_i} (\lambda_{ij} \frac{\partial T}{\partial x_j}) + \alpha_3 C_p \frac{\partial}{\partial x_i} (K_{ij} \frac{\partial \phi}{\partial x_j}) = C_p \frac{\partial T}{\partial t} - TB_{ij} \frac{\partial}{\partial t} \epsilon_{ij} \quad (7)$$

左辺第二項は、移流項と呼ばれるものであり、 α_3 は、移流が岩盤の熱伝導に及ぼす影響を表す定数である。

他に、水は热せられることにより温度が変化し、流れが生ずる(自然対流)。この効果は、次式で表すことができる。

$$\frac{\partial}{\partial x_i} \left\{ K_{ij} \frac{\partial \phi}{\partial x_j} + K_{ij} \beta' (T - T_0) \right\} = \frac{\partial}{\partial t} \epsilon_a + \frac{1}{m} \frac{\partial}{\partial t} \phi \quad (8)$$

T_0 : 基準温度 β' : 温度変化に伴う水の密度変化を与える係数

左辺第三項は、浮力により生じた水の流速を示している。また、(8)式では、热膨胀による間隙水圧変化は考慮していない。

以上の(1)~(4), (6)~(8)式を連立させて解くことにより、各相の相互作用を評価することができる。

3. 数値解析手法

このように、幾相もの相互作用を、有限要素法等の離散化手法を用いて解く場合、次のようないくつかの問題が生ずる。

i) 相互作用に関する一連の方程式を、マトリックス化して解こうとした場合、これが非剰余となり、

演算に要する時間が膨大なものとなる。

ii) 温度、間隙水压、応力を定義する位置が、要素内で同じでなければならぬ。

これらを解決するためには、詳細にわたり数学的考察が必要であるが、ここでは次のようないくつかの手法を用いて解析を試みた。まず、i)は、時間に関する積分を陰(implicit)な定式化により行なうとする場合に生ずるものであるが、本手法では、前進差分法を用い陽(explicit)な定式化で時間積分を行なうこととする。これにより、温度・間隙水压は常に既知として取り扱うことができ、従って、連立方程式を解く操作は、変形についてのみ行なえばよくなる。本法は、要素分割と時間分割の大きさが調和的でない場合、解が発散する可能性があるものの、小さな時間間隔を採用することにより、充分実用的な精度で解を得ることができる。

定ひずみ要素を用いた場合、応力(ひずみ)は要素重心(直線として求まるが、温度応力や間隙水压を計算する上で、温度、間隙水压も同じ位置で求めなければならない)である。これには、次のようないくつかの手法を用いる。すなはち、要素重心で定義され、温度、間隙水压等のがテンシャル量とし、ひずみを速度ベクトルヒズミとし、これらには、(9)式のようないくつかの関係がある。(9)式について、要素の形状関数 N を重みにとり、重みつき残差法を適用すると(10)式となる。さらに部分積分して(11)式が得られる。

$$\lambda_{ij} \frac{\partial}{\partial x_j} \psi - u_i = 0 \quad (9) \quad \int_V N_a (\lambda_{ij} \frac{\partial}{\partial x_j} \psi) dV - \int_V N_a u_i dV = 0 \quad (10)$$

$$\int_S N_a \lambda_{ij} \psi n_j ds - \int_S \lambda_{ij} \frac{\partial N_a}{\partial x_j} \psi dV - \int_V N_a u_i dV = 0 \quad (11)$$

(11)式に於いて、左辺第一項は、表面に於けるボテンシャル量と等価な流束、第二項は、要素重心のボテンシャル量と等価な流束をそれぞれ表わし、第三項は、これとつり合つ節点の流束を表わしている。従って、少く既知とし、(11)式を解くことにより節点に於ける流速を求めることができる。さらに次式については、

$$\frac{\partial}{\partial x_i} U_i - \frac{\partial \psi}{\partial t} = 0 \quad (12) \quad \frac{\partial N_a}{\partial x_i} U_i - \frac{\partial \psi}{\partial t} = 0 \quad (13)$$

となり、要素重心の時間に関するボテンシャル量の変化を得ることができます。物理的には、(10)式は要素重心間のボテンシャル勾配を要素面積の重みをつけ、節点で平均化することを意味し、また(13)式は、要素構成節点の流速の平均勾配を求めるこことを意味している。この手法は、節点上でボテンシャル量を定義する有限要素法を用いた場合に比べ精度が低く、要素形状が不均質の場合に解が安定しない場合がある。筆者らは、このため、節点値についてはその節点を用む節点の平均値を、また要素重心値についてはその要素を用む要素の平均値を用いた方法をとり解の安定を計っているが、より精度を高めるために、高次の内挿関数を持つ要素を用い、有限要素法により定式化すべきであろう。

4. 解析例

解析手法の妥当性を検証するため、熱伝導に関する方程式の場合を例にとり、一次元問題で解析を試みた。支配方程式、理論解、用いた物理値は次の通りである。

$$\frac{\partial}{\partial x} \left(D \frac{\partial T}{\partial x} \right) + \frac{\partial T}{\partial x} = \frac{\partial T}{\partial t} \quad (14)$$

$$\frac{T}{T_0}(x,t) = \frac{1}{2} \left\{ \operatorname{erfc} \left[\frac{x-Vt}{\sqrt{4Dt}} \right] + \exp \left(\frac{Vx}{\lambda} \right) \operatorname{erfc} \left[\frac{x+Vt}{\sqrt{4Dt}} \right] \right\} \quad (15)$$

$$D = \lambda / C_p \delta = 0.0025 \text{ (m/hr)}$$

図-1は要素分割、図-2、図-3は、それだけ水の流速を0.002及び0(m/hr)とした場合の解である。解析解と理論解は、よく一致している。図-3では、弾性体と水の移動を達成させた場合も併せて示してある。達成効果がない場合、即ち水の移動による質量の変化の影響を弾性体が受けない場合には、支配方程式(14)式において $V=0$ とした場合と同じものとなり、 $D(K \cdot M)$ が等しければ、解は熱伝導の場合と同様である。しかし、質量の変化を弾性体が全て受けもつた場合には(図中破線)、応力状態が(従って間隙水圧も)変化し、前記の場合と比較して異なる間隙水圧分布となる。図中、間隙水圧がかなり低くなる部分があるが、ここは、左側の要素が水の流入により膨張するため、これに引かれて、引張応力が生じている部分である。図-4に、水と弾性体の達成を考慮して場合の変位分布を示す。

次に、移流と対流の効果を見るために行なった解析例を示す。支配方程式(1), (7), (8)式であり、式中の弾性体のひずみに於ける項は無視する。間隙水についている、四辺全て不透水境界とし、熱については上下端を断熱、右端を基準温度(0°C)で固定するものとした。解析は、左端を 10°C まで熱したときのものである。なお、(8)式における β は0.1とし、対流の効果を過張してある。解析結果から、水の

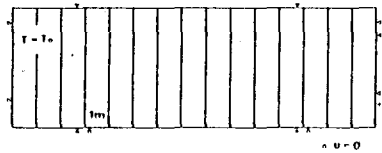


図-1 要素分割図

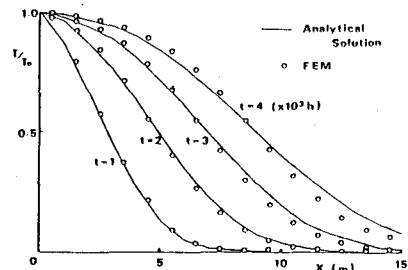


図-2 移流拡散問題の解

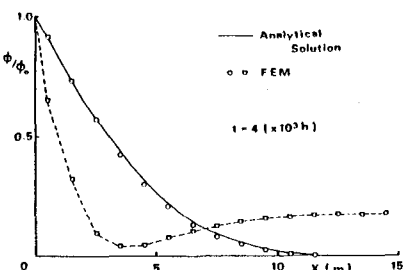


図-3 拡散問題の解

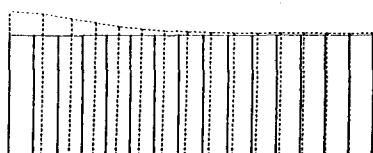


図-4 变位分布

移動と熱の伝導がそれなり影響を及ぼし合っている様子がわかる。

(図-5～図-8)。

三相の相互作用を全て考慮して例を図-9、図-10に示す。この例ではトンネル下方に発熱体があり、岩盤が膨張しうるヒート、間隙水压は、この影響を受け、発熱体近傍で高くなっている。また、図-10では、発熱体がない場合の解も併せて示した。

5. まとめ

本報告では、岩盤の変形と熱、水の移動との相互作用を次のようになんて、数値解析を試みた。

- i) 岩盤の変形は、水の移動と熱膨張によるひずみの変化を受ける。
- ii) 間隙水压は、岩盤の変形、及び温度の影響を受ける。
- iii) 温度は、水の速度、及び岩盤の変形の影響を受ける。

解析結果からいは、ここで仮定した相互作用の効果を明確に見ていることができた。しかしながら、相互作用を表現するためには支配方程式や、幾つかの仮定、パラメータ等に対する吟味は、未だ不充分であり、今後、実験を重ね、検証していく予定である。また、数値解析手法についても、実用的でないものにせよ、精度の面で幾分難があり、より高い精度や安定性が得られるよう改良していく予定である。

(参考文献)

(1) V.Guvanassen et. al.
"Numerical Solution for Solute Transport in Unconfined Aquifers."
Int. J. Num. Meth. in Fluids, 1983. vol 3.

(2) J.K.Lee et. al.
"Finite Element Evaluation of Thermo-elastic Consolidation"
23 symposium on Rock Mechanics.
1982.

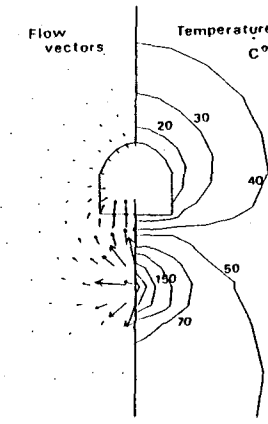


図-9 温度、熱流速分布

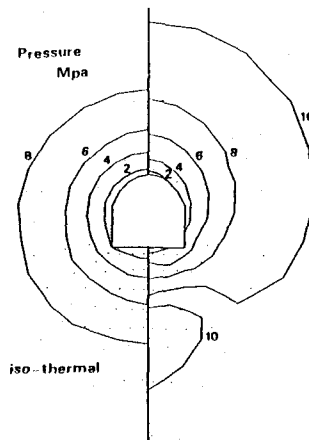


図-10 間隙水压分布

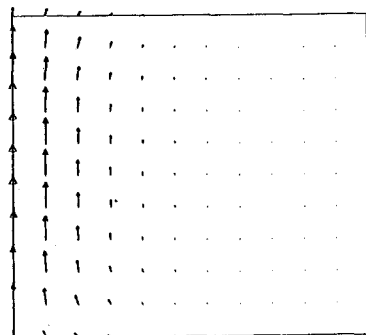


図-5 流速ベクトル($t = 10^3 \text{ hr}$)

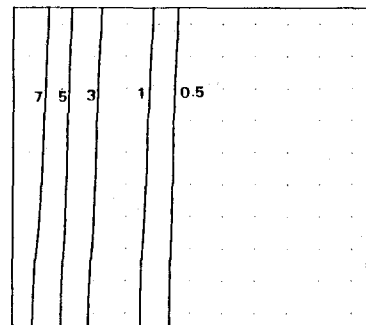


図-6 温度分布($t = 10^3 \text{ hr}$)

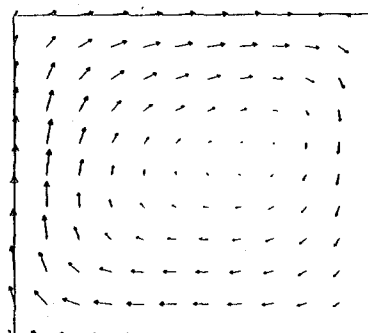


図-7 流速ベクトル($t = 10^4 \text{ hr}$)

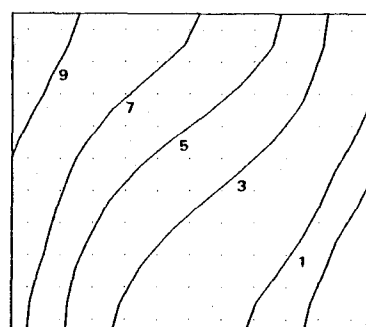


図-8 温度分布($t = 10^4 \text{ hr}$)

(10) A Deformation Analysis
Considering Water Flow and Heat Transport
in Rock Mass

M. Sato , K. Kamemura Taisei Corp.

Summary

Rock deformation, groundwater flow and heat transfer through a rock mass are not independent phenomena.

In this paper, the interaction of these are treated as follows.

- i) Rock deformation is affected by a loss of mass due to water flow and by a thermal expansion.
- ii) Water flow is affected by rock deformation and thermal gradients.
- iii) Heat transfer is influenced by water flow rate and heat due to rock deformation

A convective-dispersion and three phase problem are solved by means of Finite Element Method partly adopting Finite Difference technique, and explicit time integration scheme.

Satisfactory results are obtained from these simulation and it is shown that the method and physical modelling presented here are appropriate.